

Петромагнитные и гранулометрические характеристики четвертичных отложений опорного разреза Тологой (Бурятия, Россия)

А.Ю. Казанский^(1,2), Г.Г. Матасова⁽³⁾, А.А. Щетников^(4,5,6), А.И. Филинов^(4,5,6),
М.А.Ербаева^(5,7)

1 - Московский государственный университет («МГУ»), 119991, Россия, г. Москва, Ленинские горы, д. 1, , Телефон: 79167459857, e-mail: kazansky_alex@mail;

2 – Геологический Институт РАН («ГИН»), 119991, Россия, г. Москва, Пыжевский пер. д.7
3 - Новосибирск, Институт нефтегазовой геологии и геофизики им.А.А Трофимука СО РАН («ИНГГСО РАН»), 630090, Россия, г. Новосибирск, Коптюга пр. д. 3, Телефон: 79319184144, e-mail: matasovagg@ipgg.sbras.ru

4 - Иркутск, Институт земной коры СО РАН («ИЗК СО РАН») 664033, г. Иркутск, ул. Лермонтова, д 128, Телефон: 83952429756, e-mail: shch@crust.irk.ru, Телефон: : 83952429756, e-mail: filinov@crust.irk.ru

5 - Институт геохимии им. А.П.Виноградова СО РАН («ИГХ СО РАН»), Россия, 664033, г. Иркутск, а/я 9, ул. Фаворского, 1А

6 - Иркутский научный центр СО РАН («ИНЦ СО РАН»), РоссияЮ 664033, Иркутск, ул. Лермонтова, 134

7 - Геологический институт Сибирского отделения Российской академии наук («ГИН СО РАН») 670047, Россия, Республика Бурятия г.Улан-Удэ, ул. Сахьяновой, 6а Телефон: 73012433013, e-mail: erbajeva@ginst.ru

Аннотация.

Приведены результаты комплексного (гранулометрического и петромагнитного) изучения четвертичных отложений опорного разреза Тологой (Забайкалье). Установлено, что разрез имеет более сложное строение, чем считалось ранее, в нем выделены новые горизонты ископаемых почв, не выявлявшиеся при геологическом описании. Уточнен литологический состав отложений и скорректированы границы отдельных слоев. По данным анизотропии магнитной восприимчивости сделана оценка направления и угла наклона древнего склона, на котором формировались осадки, а также преобладающие направления ветров в периоды накопления отдельных интервалов отложений. Исследованы корреляционные связи между петромагнитными и гранулометрическими характеристиками и установлен их переменный характер по разрезу, что позволило выявить участки разреза с относительно непрерывным осадконакоплением и участки с переменным режимом образования и/или размыва осадков.

Ключевые слова: петромагнетизм, гранулометрия, четвертичные отложения, Забайкалье, ископаемые почвы, осадконакопление.

Введение

Разрез Тологой (51° 45' с.ш., 107° 29' в.д.) расположен в Иволгинской впадине на левом берегу р. Селенги, к юго-западу от г. Улан-Удэ. Он является опорным не только для Западного Забайкалья, но и для всей Восточной Сибири в целом. В разрезе выделяется три стратиграфических уровня [1]: верхний (верхний плейстоцен), средний (средний-нижний плейстоцен) и нижний (верхний плиоцен). В основании разреза вскрываются красноцветные отложения, считающиеся стратотипом чикойской (тологойской) свиты [1]. В данной работе приводятся результаты петромагнитных и гранулометрических исследований двух верхних возрастных уровней и их палеоклиматическая интерпретация.

Методика исследований

Отбор образцов выполнен в интервале 0-20 м. Всего отобрано 89 ориентированных образцов (со средним интервалом 23 см) и 220 неориентированных проб через 5-10 см. В полевых условиях и на образцах измерена магнитная восприимчивость (X) и ее частотная зависимость (FD) (частоты 4.7 кГц, 0.47 кГц). Различные виды намагниченности (изотермическая намагниченность J_i , остаточная намагниченность насыщения J_r , намагниченность насыщения ферромагнетиков J_{fer} , намагниченность парамагнетиков J_{par}) и коэрцитивные характеристики (коэрцитивная сила B_c и остаточная коэрцитивная сила B_{cr}) изучались на коэрцитивном спектрометре J-meter [2] в поле 700 мТл. При измерении магнитного гистерезиса оценивалось присутствие суперпарамагнитных зерен с помощью параметров J_m - J_r и X_{sp} . Различные соотношения магнитных параметров использовались для уточнения и детализации магнитных свойств: показатели магнитной жесткости $S=J_{r(-300)}/J_r$, $HIRM=(J_{r(-300)}+J_r)/2$, где $J_{r(-300)}$ – величина намагниченности обратным полем 300 мТл; J_{par}/J_i – вклад парамагнетиков в общий магнетизм осадков; B_{cr}/B_c vs J_r/J_i – оценка доменного состояния (ДС) магнитных зерен; X/J_r , X_{fer}/J_{fer} – оценка эффективного размера магнитного зерна.

На ориентированных образцах измерялась анизотропия магнитной восприимчивости (АМВ). Все измерения выполнены по стандартным методикам [3] в Палеомагнитном центре ИНГГ СО РАН.

Гранулометрические исследования выполнялись на лазерном микроанализаторе частиц Microtrac X100 (ИНГГ СО РАН). Диапазон размеров частиц составляет от 704 мкм до 0.146 мкм, которые объединяются в 50 фракций, представленных в объемных процентах по каждому образцу. Диспергирование образцов проводилось путем ультразвуковой обработки. По классу крупности обломков и частиц в песчаную фракцию (>100 мкм), крупноалевритовую (50-100 мкм), мелкоалевритовую (10-50 мкм) и глинистую (< 10 мкм), согласно классификации Раукаса А.В. [4]. В составе глинистой выделена илистая фракция (< 2 мкм). Для каждого образца были определены моды распределения и рассчитаны средний размер зерна (D_{sp}), динамический фактор (F). Динамический фактор представляет собой отношение количества физического песка (сумма фракций >50 мкм) к количеству физической глины (сумма фракций <50 мкм) в образце. Параметр характеризует условия осадконакопления: при $F>1$ преобладает привнос обломочного материала из ближних и средних источников посредством волочения и сальтации (~до десятка км), что, скорее всего, имеет место в высокодинамичной среде при сильных порывистых ветрах; при $F<1$ поступление материала сокращается и поступает в виде воздушных аэрозолей, в основном, из дальних источников, преобладают постседиментационные преобразования осадков *in situ*.

Результаты исследований и их обсуждение

Геологическое описание разреза скорректировано по результатам гранулометрических исследований (рис.1), номера слоев приведены сверху вниз, слой 1 – современная почва ~50 см. Плейстоценовая толща представлена чередованием песков, супесей, легких и средних суглинков; суглинками представлены ископаемые почвы. Границы внутри слоев обозначают более дробное

деление на подслои, различающиеся текстурой, цветом, включениями. По величине динамического фактора (около 1) в разрезе выделено 5 ископаемых почв, из них верхняя (слой 3), слабо развитая, мощностью ~ 40 см, визуальным обследованием отложений не фиксируется. Самая нижняя почва (слой 11), мощностью до 40-50 см, сильно денудирована, но она четко выделяется по цвету и текстуре при полевом описании. В этих палеопочвах средний размер зерна составляет 120-150 мкм. Три средние почвы (слои 5, 7, 9) хорошо развиты, большой мощности (от 0.8 до 2 м), представляют собой типичные палеопочвы, четко фиксируются как по полевым, так и по лабораторным исследованиям. В них Dcp варьирует между 73 и 88 мкм. Для сравнения Dcp во вмещающих отложениях меняется от 140 до 375 мкм.

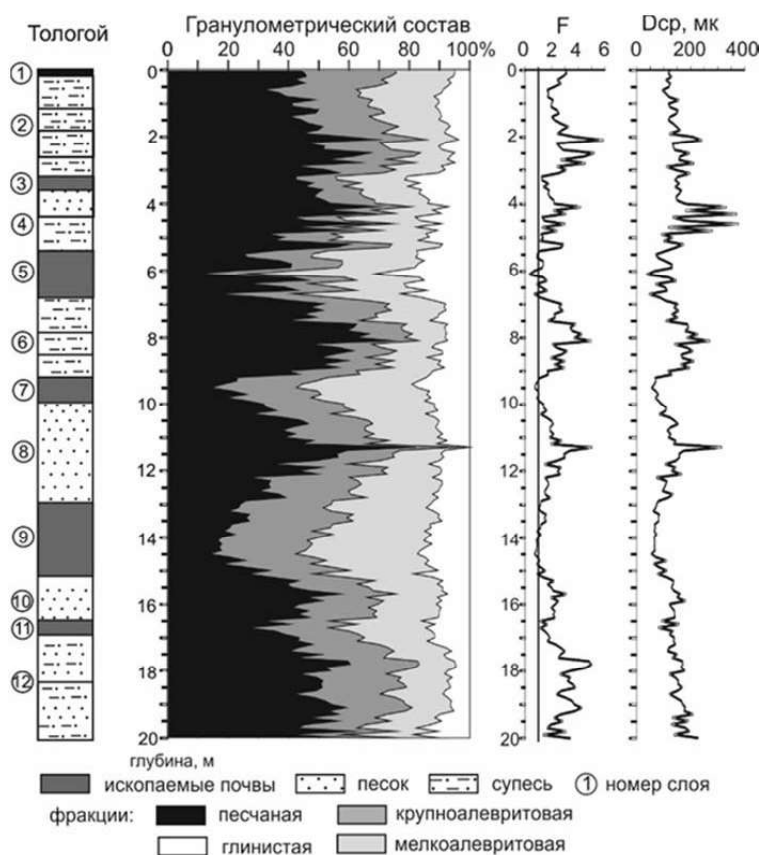


Рис.1. - Литостратиграфическое расчленение разреза Тологой и его гранулометрические характеристики.

Магнитные параметры, характеризующие магнитные свойства отложений, на рисунке 2 сгруппированы по принципу их поведения в палеопочвах: параметры, помещенные на рис.2 а, имеют пониженные значения в почвах, это концентрационно-зависимые параметры и оценки эффективного размера магнитного зерна. На рис. 2 б приведены магнитные характеристики с повышенными значениями в почвах, к ним относятся коэрцитивные параметры; оценки соотношения магнитомягких и магнито жестких минералов в магнитной фракции, а также парамагнитные характеристики.

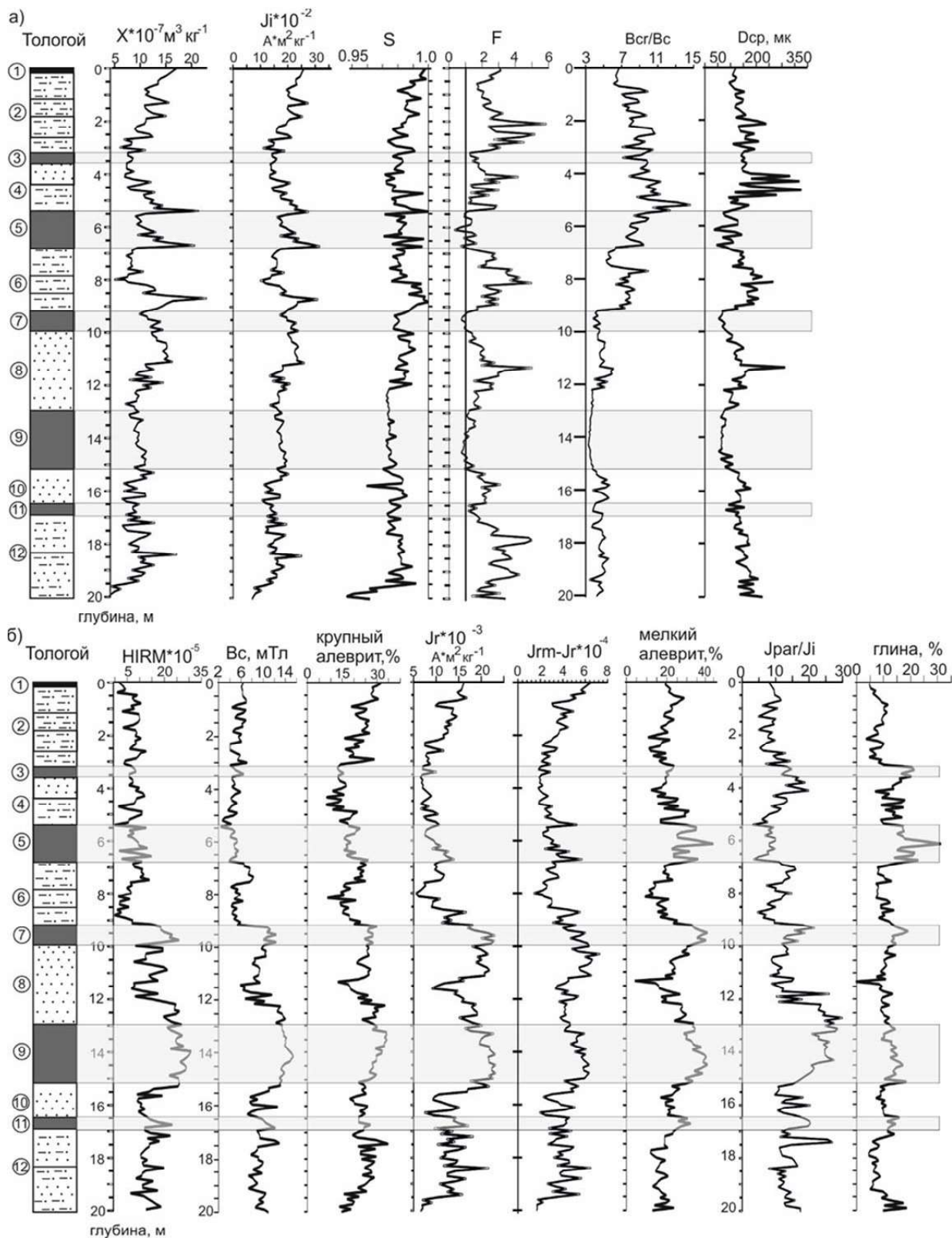


Рис.2. - Сравнение магнитных и гранулометрических характеристик отложений разреза Тологой.

Общая картина поведения магнитных характеристик свидетельствует, что разрез делится на две части, граница проходит в районе палеопочвы на глубине 9-10 м (слой 7), по некоторым параметрам (например, по концентрационно-зависимым X , J_i) – чуть ниже, в подпочвенном слое 8. Отложения верхней части разреза более крупнозернисты, характеризуются бóльшей концентрацией

магнитных минералов, особенно во вмещающих палеопочвы отложениях; более крупными магнитными зернами; большей изменчивостью магнитных характеристик. На границах и внутри слоев отмечены резкие скачки параметров. Осадки нижней части разреза, соответственно, менее магнитны, мелкозернисты, содержат гораздо большее количество парамагнитных минералов (вклад парамагнетиков в общую намагниченность достигает 33% против максимально 20% в верхней части) и более магнитожесткие. Все эти параметры отражают смену условий осадконакопления. Об этой смене так же свидетельствуют данные о магнитной текстуре отложений, реконструируемой по эллипсоиду анизотропии магнитной восприимчивости (рис.3).

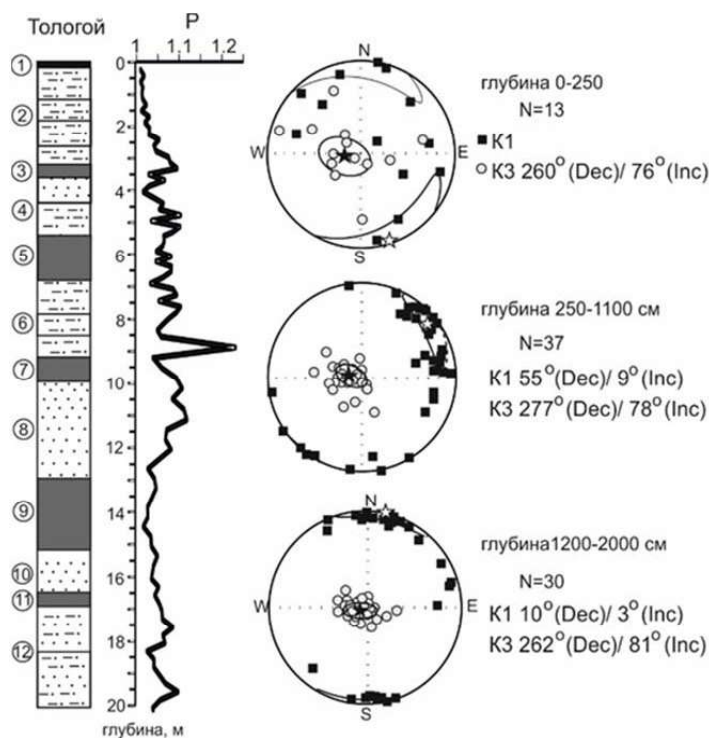


Рис.3. – Изменения степени анизотропии магнитной восприимчивости (P') и магнитная текстура отложений разреза Тологой. Белая звездочка- среднее направление K1 (максимальной оси); черная звездочка – среднее направление K3 (минимальной оси).

Анизотропия, в целом, невелика, максимальное значение P' (степень анизотропии [5]) составляет 1.21, в среднем P' понижается в почвах и увеличивается во вмещающих отложениях. Магнитная текстура – плоскостная - типична для осадочных образований, в верхней части разреза (слои 1, 2) расположение магнитных зерен более хаотично, степень анизотропии значительно меньше (в среднем P' не превышает 1.02). По параметрам магнитной текстуры возможно реконструировать положение древнего склона и направление действия основного фактора, формирующего отложения. Направление (В-З) и угол падения ($\sim 10^\circ$) склона не менялись на протяжении времени формирования изученной толщи, направление ветра менялось с С-Ю для нижней части разреза на ЮЗ-СВ для верхней части разреза. Самый верх (слои 2, 1) разреза (вероятно, голоценовые отложения) формировался под влиянием ветров СЗ-ЮВ, С-Ю направления.

Корреляционный анализ позволил обнаружить взаимосвязи между гранулометрическим составом и петромагнитными характеристиками отложений. Корреляционные коэффициенты рассчитаны для всего разреза в целом и для отдельных его частей с границей между 11 и 12 м.

Таблица 1. Коэффициенты корреляции между петромагнитными и гранулометрическими параметрами.

Магнитные Параметры	Интервал глубин разреза								
	0-20 м			0-11 м			12-20 м		
	Гранулометрические фракции								
	крупный алева рит	мелкий алева рит	алева рит	крупный алева рит	мелкий алева рит	алева рит	крупный алева рит	мелкий алева рит	алева рит
Jr	0.74	0.58	0.74	0.71	0.5	0.67	0.71	0.73	0.81
Vcr	0.5	-	0.53	-	-	-	0.64	0.74	0.79
Vc	0.75	0.52	0.69	0.67	-	0.62	0.68	0.83	0.86
Jrm- Jr	0.64	-	0.62	0.66	-	0.58	0.61	0.57	0.66
Jp	0.68	0.64	0.74	-	0.52	0.56	0.77	0.82	0.9

Различие между взаимосвязями изученных параметров наглядно видно на рис. 2 и в таблице 1, где приведены коэффициенты корреляции содержания алевритовых фракций и некоторых магнитных характеристик. В верхней части разреза корреляция существенно слабее и реже встречается, чем в нижней части. Также слабее либо отсутствует вообще связь песчаной и глинистой фракций с магнитными характеристиками. Только в нижней части разреза содержание песчаной фракции прямо коррелирует только с размером магнитного зерна, глинистой – с показателями магнитной «жесткости» отложений.

Для выяснения причин слабой связи изученных параметров в верхней части разреза была проведена корреляция со «скользящим окном» в 1, 2 и 3 м. Все они показали близкие результаты. На рисунке 4 приведено изменение корреляционных коэффициентов с глубиной, на графики намеренно помещены кривые, отражающие слабую корреляцию или ее отсутствие в верхней части либо в целом по разрезу (рис.2, таблица 1). На графиках видно, что до глубины ~8.5 м коэффициенты корреляции имеют низкие значения и несколько раз меняют знак, что объясняет слабую общую связь между параметрами. И, наоборот, в нижней части разреза почти на всю глубину (до ~16 м) коэффициенты корреляции имеют высокие значения. Ослабление взаимосвязей наблюдается в районе ископаемых почв и в самой нижней части разреза (с ~ 17 м). Поскольку нарушение связей свидетельствует об изменении характера и/или степени влияния различных факторов осадконакопления, то на основании представленных данных можно предложить разделение разреза на 3 части, отделенные друг от друга значительными перерывами. Средняя часть, включающая слои (7, 8, 9, 10) формировалась достаточно цельной толщей, без существенных перерывов. Небольшие перерывы могут подразумеваться до и

после образования почв. Верхняя часть разреза полностью формировалась в режиме переменного осадконакопления либо денудации, об этом же свидетельствуют резкие скачки параметров на границе и внутри слоев.

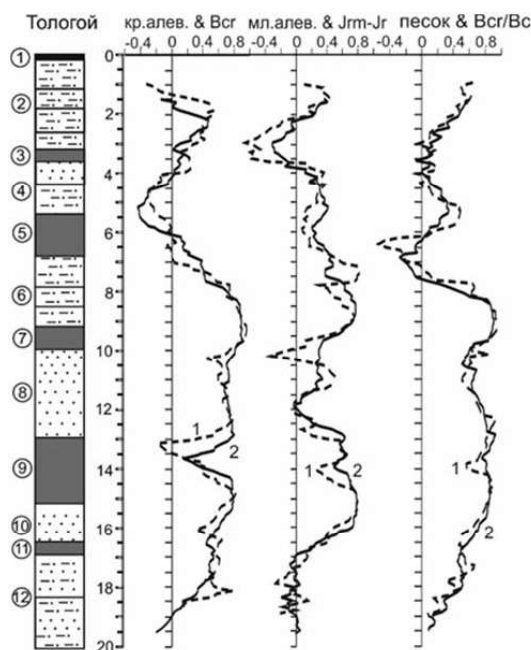


Рис.4. – Коэффициенты корреляции со «скользящим окном 2 м (кривая 1) и 3 м (кривая 2) между некоторыми гранулометрическими и петромагнитными характеристиками. Первая точка приписана к середине интервала.

Более дробное деление может предположить относительно непрерывное осадконакопление в голоцене (слои 2,1). В нижней части разреза, включая и почву (слой 11), характер взаимозависимостей не дает оснований для выводов относительно условий осадконакопления, но понятно, что они отличались от таковых для средней части разреза. Вероятно, на происхождение и преобразование отложений слоев 11, 12 прольет свет дальнейшее комплексное изучение осадков с увеличением глубины вскрышных работ.

Выводы

- 1) По комплексу гранулометрических и петромагнитных данных определен литологический состав отложений; выявлены горизонты ископаемых почв, не обнаруженные визуальным обследованием; скорректированы границы отдельных слоев и установлен их характер;
- 2) По данным анизотропии магнитной восприимчивости сделана оценка направления и угла наклона древнего склона, на котором формировались осадки, а также преобладающие направления ветров в периоды накопления отдельных интервалов отложений;
- 3) На основании результатов корреляционного анализа выделены участки разреза с относительно непрерывным осадконакоплением и участки с переменным режимом либо денудацией

(т. е. объем перерывов, скорее всего, многократно превышает объем накопленных и сохранившихся отложений).

Благодарности

Работа выполнена при финансовой поддержке РФФИ (гранты 18-05-00215, 16-05-00586 и 15-05-01858) и Министерства образования (грант № 2017-220-06-1656).

Список литературы

1. Алексеева Н.В. Эволюция природной среды Западного Забайкалья в позднем кайнозое (по данным фауны мелких млекопитающих. Москва, ГЕОС, 2005. - 141 с.
2. Jasonov P. G., Nurgaliev D. K., Burov B. V., Heller F. (1998) A modernized coercivity spectrometer // *Geologica Carpathica* V. 49. - P. 224-226.
3. Evans, M.E., Heller, F. Environmental Magnetism. New York: Academic Press, 2003. - 299 p
4. Раукас А.В. Классификация обломочных пород и отложений по гранулометрическому составу. - Таллин, Институт геологии АНЭССР, 1981. -24 с
5. Tarling D.H., Hrouda F. The magnetic anisotropy of rocks. - London: Chapman & Hall, 1993. - 217 p..